Darstellung und Kristallstruktur von Nd₂SeSiO₄

Preparation and Crystal Structure of Nd₂SeSiO₄

M. Grupe und W. Urland*

Institut für Anorganische Chemie Universität Hannover, Callinstraße 9, D-3000 Hannover, FRG

Z. Naturforsch. 45b, 465-468 (1990); eingegangen am 6. Dezember 1989

Synthesis, Crystal Structure of Nd₂SeSiO₄

 $\mathrm{Nd}_2\mathrm{SeSiO}_4$ has been prepared as violet rod-like single crystals by reaction of elemental neodymium, selenium and iodine in the ratio 1.0:1.0:2.5 and subsequent reaction with quartz glass powder. The compound crystallizes in the orthorhombic space group Pbcm with a=618.2(2), b=717.4(2), c=1102.4(2) pm and Z=4. The structure is built up of alternating NdSe_2 and NdSiO_4 -sheets.

Einleitung

Kürzlich beschrieben wir erstmals die Synthese von Selenosilicaten der Lanthanoide, die sich als Disilicate vom Typ $Ln_4Se_3Si_2O_7$ (Ln = Ce, Nd) erwiesen [1]. In dieser Arbeit wird über die Darstellung und Kristallstruktur eines Lanthanoidselenosilicats vom Typ Ln_2SeSiO_4 (Ln = Nd), eines Monosilicats, berichtet.

Experimentelles

Pulverförmige Proben von Nd₂SeSiO₄ wurden erhalten, indem man 500 mg Neodympolyselenid, das aus Neodym (Ventron Alfa, 99,9%) und Selen (Johnson Matthey, 99,999%) im Atomverhältnis 1,0:2,0 dargestellt worden war [2], zusammen mit 170 mg Kieselsäurestaub (Merck) in eine evakuierte Quarzampulle einschmolz und anschließend 2 d lang auf 1000 °C erhitzte. Die Proben von Nd₂SeSiO₄ enthielten nach Guinier-Aufnahmen stets kleine Mengen von Neodympolyselenid. Die Verwendung entwässerter Kieselsäure (12 h entwässert bei 400 °C und 10⁻³ mbar) führte nur in geringem Maße zur Umsetzung. Zur Einkristallherstellung wurden Metallspäne von Neodym, Selenschrot und Iod (Fa. Riedel de Häen, 99,5%) im Atomverhältnis 1,0:1,0:2,5 getrennt in drei Quarzampullen gebracht, wobei die eingesetzte Masse an Neodym 1,0 g betrug. Diese drei Ampullen wurden anschließend in eine weitere Quarzampulle überführt, so daß sie in der Reihenfolge Iod, Selen, Neodym zu liegen kamen. Die Quarzampulle wurde unter Kühlung mit flüssigem Stickstoff evakuiert, abgeschmolzen und in einen Zwei-

zonenofen gebracht (Abb. 1). Zunächst wurde das Iod und das Neodym 2 d lang auf 120 °C bzw. 300 °C erhitzt, dann für weitere 2 d Selen und Neodym einer Temperatur von 330 °C bzw. 550 °C ausgesetzt. Schließlich wurde die Ampulle geöffnet und der Inhalt zusammen mit 500 mg Quarzglassplittern in eine weitere Quarzampulle unter Vakuum (10⁻³ mbar) eingeschmolzen. Die Ampulle wurde senkrecht in einen Röhrenofen gestellt und 2 d lang auf 850 °C erhitzt. Man erhielt einen grauschwarzen Schmelzkuchen, in dem sich schwach violette, stäbchenförmige Kristalle befanden.

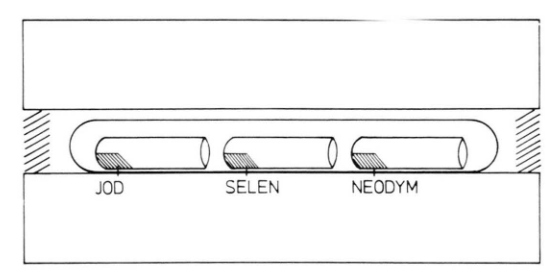


Abb. 1. Anordnung der Quarzampullen mit den Ausgangskomponenten im Zweizonenofen.

Analyse

Energiedispersive röntgenspektroskopische (EDX) Messungen an den violetten, luftunempfindlichen Kristallen gaben erste Hinweise auf ihre Zusammensetzung. Die Elemente Neodym, Selen und Silicium wurden im gerundeten Atomverhältnis 2:1:1 nachgewiesen. Iod wurde nicht gefunden. Die Analyse und die verwendeten Ausgangsstoffe legten somit für die Kristalle die Zusammensetzung Nd₂SeSiO₄ nahe. Diese Zusammensetzung wurde schließlich durch die Röntgenstrukturanalyse bestätigt.

Verlag der Zeitschrift für Naturforschung, D-7400 Tübingen 0932-0776/90/0400-0465/\$~01.00/0

^{*} Sonderdruckanforderungen an Prof. Dr. W. Urland.

Kristallstrukturanalyse

Von geeigneten Kristallen wurden Präzessionsaufnahmen (MoK_{α} -Strahlung) angefertigt. Aus diesen Filmdaten ergab sich das Diffraktionssymbol mmmPbc-. Von den zwei möglichen Raumgruppen Pca2₁ (azentrisch) und Pbcm (zentrisch) liegt die zentrische vor, wie die spätere Strukturaufklärung ergab. Ein geeigneter Kristall wurde am automatischen Vierkreisdiffraktometer vermessen. Einzelheiten über die röntgenographische Datensammlung sind in Tab. I zusammengestellt. Dort sind die aus den Guinier-Aufnahmen der hergestellten Pulver berechneten Gitterkon-

stanten angegeben, die im Rahmen der Fehlergrenzen mit denen aus der Diffraktometermessung übereinstimmen. Die relativen Atomkoordinaten und äquivalenten Auslenkungsfaktoren sind in Tab. II angegeben*.

Tab. I. Kristalldaten und Angaben zur Strukturbestimmung

Verbindung	Nd ₂ SeSiO ₄		
Form und Farbe Kristallvolumen (mm³) Meßgerät	transparente, violette Stäbchen 0,003484 Siemens AED 2, Graphitmonochr., MoK _a -Strahlung		
Bestimmung der Gitterkonstanten: Meßbereich (°) Gitterkonstanten bei 293 K aus Guinier-Aufnahmen (pm)	$3 \le 2\theta \le 60$ a = 618,2(2) b = 717,4(2)		
Raumgruppe Z	c = 1102,4(2) Pbcm (No. 57) 4		
Berechnete Dichte (g cm ⁻³)	6,246		
Messung der Reflexintensitäten: max. $\sin \theta / \lambda$ (Å ⁻¹) h, k, l-Bereich	0,7567 9 , 10 , 16 bis 9, 10, 16		
Abtastung min. Meßwinkel (°) max. Meßzeit (sec) Standardreflexe Schwankungen der Intensitäten Zahl der gemessenen Reflexe Zahl der symmetrieunabhängigen,	$0.059, 10, 10$ $\omega/2\theta$ 1.05 31.5 $0.01\overline{1}, 100, \overline{1}13$ $<1\%$ 2794		
beobachteten Reflexe (F > 3σ (F)) R_{int}	754 0,0369		
Korrekturen: Lorentz- und Polarisationsfaktor Absorptionskorrektur min. und max. Transmission μ (cm ⁻¹) Extinktionskorrektur Methode der Strukturbestimmung	numerisch 0,0058 -0,1793 273,45 [4] Direkte Methoden		
Strukturverfeinerung (mit F-Werten): R^* , R^* , (w = $1/\sigma^2(F_0)$) Zahl der verfeinerten Parameter max. und min. $\Delta\varrho$ (eÅ ⁻³) Verwendetes Rechenprogramm Atomformfaktoren $\Delta f'$, $\Delta f''$	0.033 bzw. 0,027 42 2,7 -2,5 SHELX-76 International Tables (1974)		

^{*} Definitionen nach Acta Crystallogr. **B38**, 699 (1982).

^{*} Weitere Einzelheiten zur Kristallstrukturuntersuchung können beim Fachinformationszentrum Energie, Physik, Mathematik, D-7514 Eggenstein-Leopoldshafen 2, unter Angabe der Hinterlegungsnummer CSD 54422, der Autoren und des Zeitschriftenzitats angefordert werden.

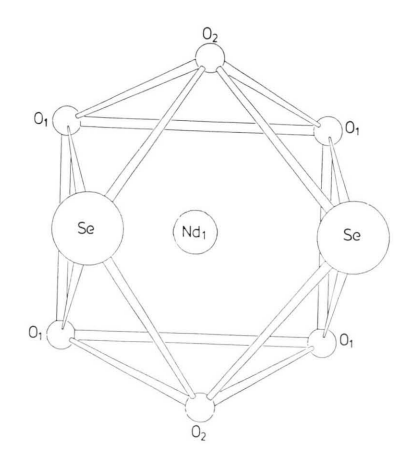
Atom	Position	X	y	Z	$U_{\ddot{a}q.}$
Nd(1)	4d	0,12744(9)	0,46500(8)	1/4	0,0067(2)
Nd(2)	4c	0.39308(9)	3/4	0	0.0079(2)
Se	4d	0.4197(2)	0.1071(2)	1/4	0.0109(4)
Si	4c	0,1104(5)	1/4	1/2	0.0077(9)
O(1)	8 e	0.0498(8)	0,7339(7)	0.3835(5)	0,0077(20)
O(2)	8 e	0,2703(8)	0,4250(7)	0,4677(5)	0,0054(20)

Tab. II. Relative Atomkoordinaten und äquivalente Auslenkungsfaktoren $U_{\tilde{a}q.}^*$; $U_{\tilde{a}q.}$ -Werte als 10^{-4} fache in pm².

* 1/3 Spur U.

Ergebnisse und Diskussion

Die Struktur des Nd₂SeSiO₄ läßt sich aufgebaut denken als eine Abfolge von $(NdSe)_n^{n+}$ - und $(NdSiO_4)_n^{n-}$ -Schichten, die sich entlang [001] abwechseln (Abb. 2). Daraus ergeben sich für die Neodymatome zwei verschiedene Lagen, was sich in den unterschiedlichen Koordinationspolyedern für die beiden Neodymatome Nd(1) und Nd(2) ausdrückt. Die Koordinationspolveder stellen jeweils verzerrte quadratische Antiprismen aus sechs Sauerstoff- und zwei Selenatomen dar. Beim Nd(1) sind die Selenatome Bestandteil einer quadratischen Grundfläche, während sie sich beim Nd(2) auf beide quadratische Grundflächen verteilen (Abb. 3). Ausgewählte Atomabstände für die beiden Koordinationspolyeder finden sich in Tab. III. Im Fall von Nd₄Se₃Si₂O₇ sitzen die Neodymatome ebenfalls auf zwei verschiedenen Lagen. Hier ist jedoch ein Neodymatom achtfach und das andere neunfach koordiniert. Die Koordinationspolyeder stellen verzerrte trigonale Prismen dar, die zweifach bzw. dreifach überdacht sind [1].



a)

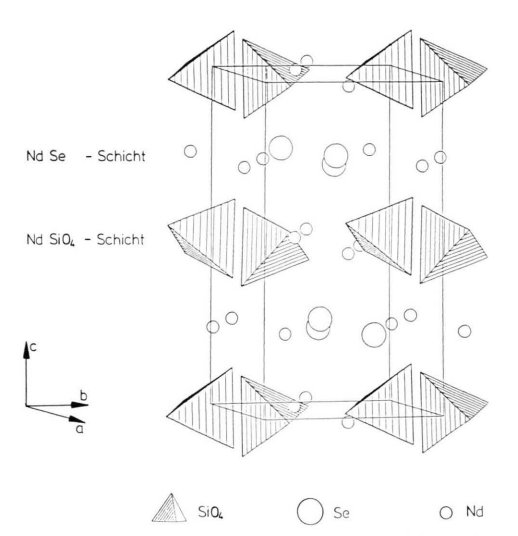


Abb. 2. Abfolge der NdSe- und NdSiO₄-Schichten entlang [001] in der Struktur von Nd₂SeSiO₄.

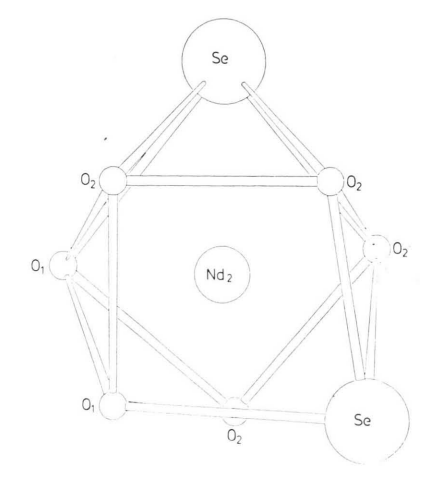


Abb. 3. Das Koordinationspolyeder des Nd(1)-Atoms (a) bzw. des Nd(2)-Atoms (b).

Tab. III. Ausgewählte interatomare Abstände (pm) in Nd_5SeSiO_4 .

	Nd ₂ SeSiO ₄
O(1)	246,3(5)
O(2)	256,7(5)
Se	297,8(1), 314,2(2)
O(2)	245,6(5)
O(2)	248,1(5)
O(1)	249,1(5)
Se	316,0(1)
	O(2) Se O(2) O(2) O(1)

Auffallend ist, daß die von Eliseev *et al.* [3] beschriebene pseudorhombische Phase von Nd₂Se₃ in ihren Zellabmessungen (a = 621(5), b = 727(5), c = 1116(5) pm und $\beta \approx 90^{\circ}$) den hier für

Nd₂SeSiO₄ angegebenen ähnelt. Da nicht auszuschließen ist, daß bei den dort verwendeten hohen Temperaturen SiO₂ aus der Wand der als Reaktionsgefäß dienenden Quarzampulle mit dem Selenid reagiert hat, handelt es sich vermutlich bei der von Eliseev *et al.* beschriebenen Phase nicht um Nd₂Se₃, sondern um Nd₂SeSiO₄.

Mit der Untersuchung der magnetischen und optischen Eigenschaften von Nd₂SeSiO₄ (Frage nach der Verwendung als Lasermaterial) sind wir beschäftigt.

Herrn Dr. J. Koepke danken wir für die Durchführung der EDX-Messungen und dem Fonds der chemischen Industrie für finanzielle Unterstützung.

^[1] M. Grupe und W. Urland, Naturwissenschaften **76**, 327 (1989).

^[2] W. Urland, P. Plambeck-Fischer und M. Grupe, Z. Naturforsch. 44b, 261 (1989).

^[3] H. Bergmann (Ed.), Gmelin Handbook of Inorganic

Chemistry; Sc, Y, La-Lu. Rare Earth Elements, Syst. No. 39, Part C9, Springer Verlag, Berlin, Heidelberg, New York (1986).

^[4] G. M. Sheldrick, SHELX-76, Program for Crystal Structure Determination, Cambridge (1976).